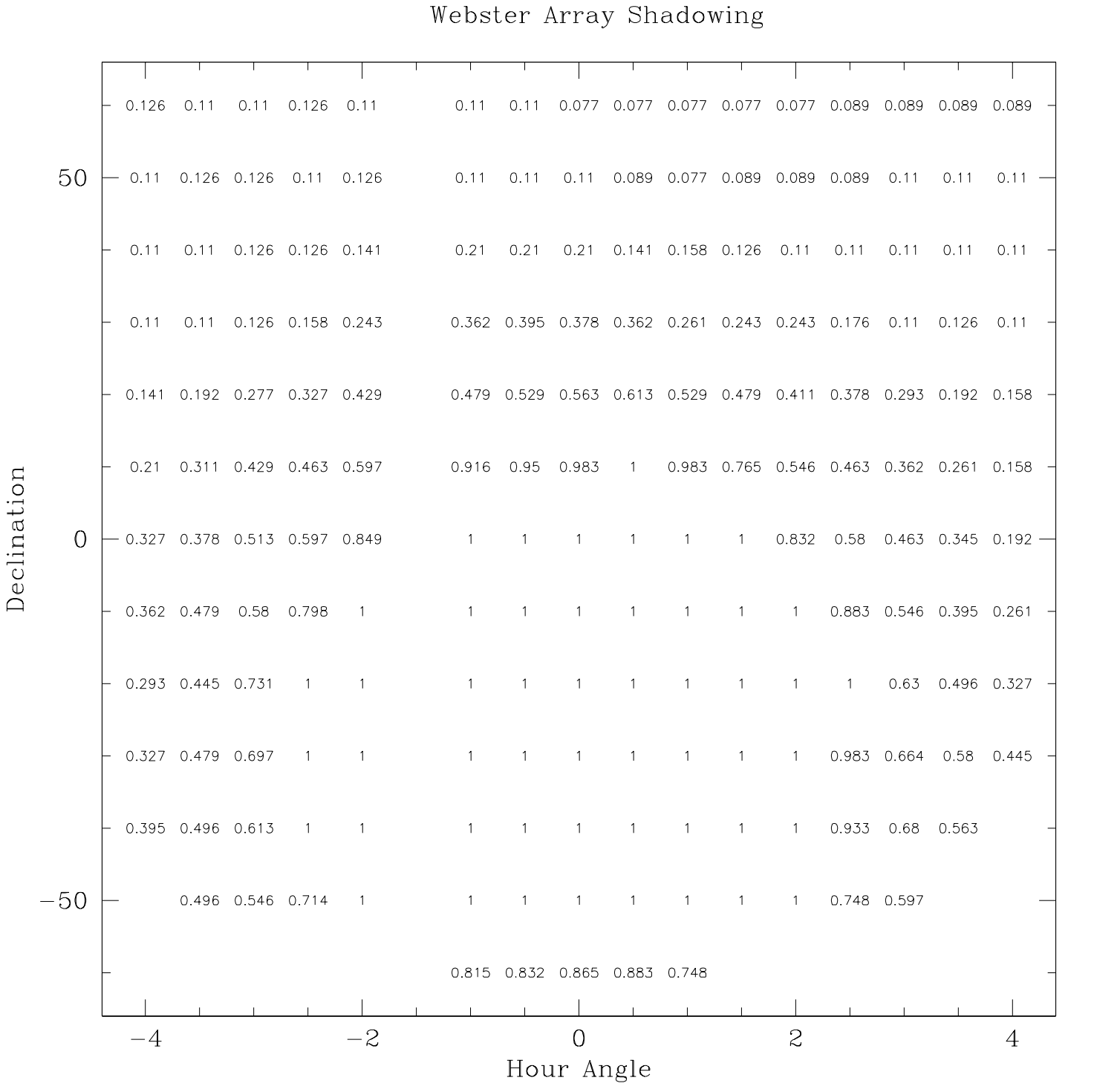
Webster Array Shadowing
0.126 0.11 0.11 0.126 0.11 0.11 0.11 0.077 0.077 0.077 0.077 0.077 0.089 0.089 0.089 0.089
0.11 0.126 0.126 0.11 0.126 0.11 0.11 0.11 0.089 0.077 0.089 0.089 0.089 0.11 0.11 0.11
0.11 0.11 0.126 0.126 0.141 0.21 0.21 0.21 0.141 0.158 0.126 0.11 0.11 0.11 0.11 0.11
0.11 0.11 0.126 0.158 0.243 0.362 0.395 0.378 0.362 0.261 0.243 0.243 0.176 0.11 0.126 0.11
0.141 0.192 0.277 0.327 0.429 0.479 0.529 0.563 0.613 0.529 0.479 0.411 0.378 0.293 0.192 0.158
0.21 0.311 0.429 0.463 0.597 0.916 0.95 0.983 1 0.983 0.765 0.546 0.463 0.362 0.261 0.158
0.327 0.378 0.513 0.597 0.849 1 1 1 1 1 1 0.832 0.58 0.463 0.345 0.192
0.362 0.479 0.58 0.798 1 1 1 1 1 1 1 1 0.883 0.546 0.395 0.261
0.293 0.445 0.731 1 1 1 1 1 1 1 1 1 1 0.63 0.496 0.327
0.327 0.479 0.697 1 1 1 1 1 1 1 1 1 0.983 0.664 0.58 0.445
0.395 0.496 0.613 1 1 1 1 1 1 1 1 1 0.933 0.68 0.563
0.496 0.546 0.714 1 1 1 1 1 1 1 1 0.748 0.597
0.815 0.832 0.865 0.883 0.748
50
0
−50
Declination
−4
−2
0
2
4
Hour Angle